



УДК 547.918:547.914.4.057:615.214:615.(31+276.017+243.012.1):616.36

СИНТЕЗ ТРИТЕРПЕНОВЫХ 2,6-ДИДЕЗОКСИ- α -L-АРАБИНО-ГЕКСОПИРАНОЗИДОВ НА ОСНОВЕ L-РАМНАЛЯ И ИХ ФАРМАКОЛОГИЧЕСКИЕ СВОЙСТВА

© 1997 г. Л. А. Балтина, О. Б. Флехтер[#], В. А. Давыдова, А. Ф. Исмагилова,
Ф. С. Зарудий, Х. М. Насыров*, Л. С. Громакова*, Г. А. Толстикова

Институт органической химии Уфимского научного центра РАН,
450054, Уфа, просп. Октября, 71;

* Башкирский государственный медицинский университет, Уфа

Поступила в редакцию 13.01.97 г. Принята к печати 14.03.97 г.

Осуществлен синтез тритерпеновых 2,6-дидезокси- α -L-арабино-гексопиранозидов путем гликозилирования тритерпеновых спиртов олеананового ряда ацетатом L-рамналя в присутствии катионита КВ-2-8 и LiBr. 2,6-Дидезокси- α -L-арабино-гексопиранозиды аллобетулина и 18 β -глицирретовой кислоты обладают выраженной противовоспалительной активностью, последний сочетает это свойство со стимуляцией репаративной регенерации кожи крыс и гепатопротекторным действием.

Ключевые слова: тритерпеновые 2,6-дидезокси- α -L-арабино-гексопиранозиды, синтез, противовоспалительная активность, репаративная регенерация кожи, гепатопротекторное действие.

Ранее нами был предложен стереоселективный синтез тритерпеновых 2-дезокси- α -D-арабино-, -лиско- и 2,6-дидезокси- α -L-арабино-гексопиранозидов на основе гликалей с использованием N-иодсукцинимид [1, 2] и комплекса ди(симм-коллиндин)-иодонийперхлорат [3, 4]. Применение в качестве активатора реакции гликозилирования тритерпеновых спиртов ацетатами гликалей сульфокислот катионита и бромида лития позволило сократить число стадий синтеза целевых гликозидов и увеличить их выход [5].

Мы использовали указанные выше условия кислотного катализа для гликозилирования ди-O-ацетил-L-рамналем (I) биологически активных тритерпеноидов: метиловых эфиров 18 β -глицирретовой кислоты (IIa) и ее 11-дезоксоаналога (IIб), а также аллобетулина (IIв) (схема).

Реакцию проводили в смеси сухих хлористого метилена и ацетонитрила при эквимольном соотношении гликаля и спирта в присутствии катионита КУ-2-8 (H⁺-форма) и бромида лития в течение 3–4 ч. Ход реакции контролировали ТСХ.

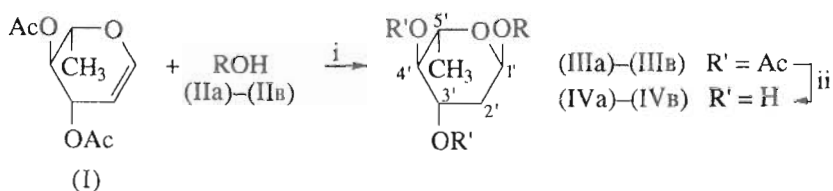
Как и ожидалось, взаимодействие ди-O-ацетил-L-рамналя (I) со спиртами (IIa)–(IIв) протека-

ло с образованием ацетилированных 2,6-дидезокси- α -L-арабино-гексопиранозидов (IIIa)–(IIIв), которые выделяли в индивидуальном состоянии с выходом 83–85% хроматографией на колонках с силикагелем. β -Аномеры методами ТСХ и ЯМР обнаружены не были. Мягким дезацетилированием выделенных соединений 5% раствором КОН в метаноле по методике [1] получили целевые тритерпеновые 2,6-дидезокси- α -L-арабино-гексопиранозиды (IVa)–(IVв) с выходом 85–90% (схема).

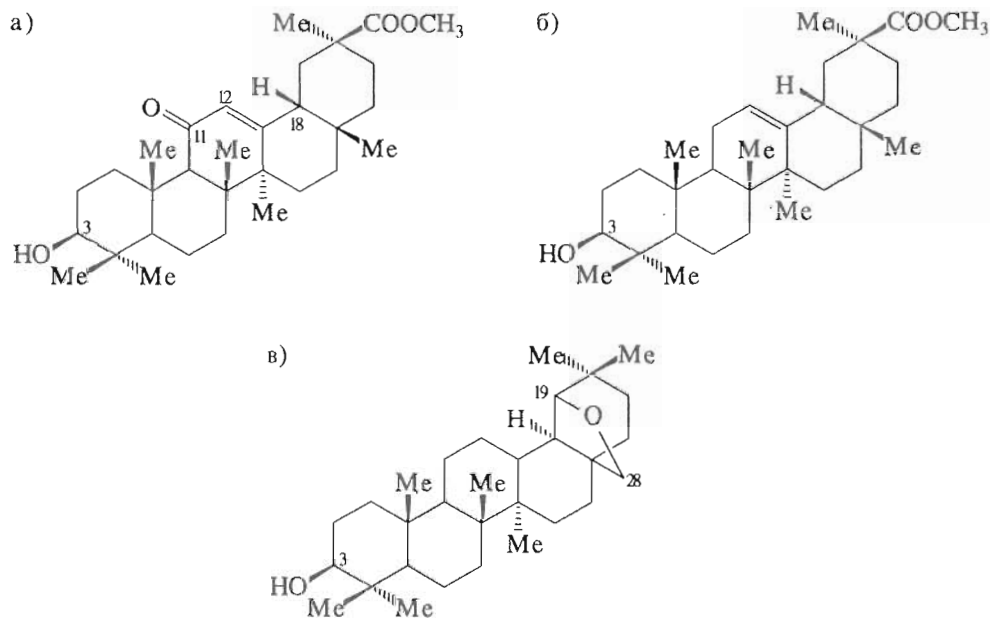
Соединения (IIIa)–(IIIв), (IVa)–(IVв) охарактеризованы спектральными методами и данными элементного анализа. Параметры спектров ¹³C-ЯМР и ¹H-ЯМР гликозидов (IIIa), (IIIб), (IVa), (IVб) полностью совпали с параметрами спектров соответствующих гликозидов, полученных нами ранее с использованием NIS [2] и IDCP [6]. При этом выход гликозидов (IIIa), (IIIб) увеличился приблизительно на 8%. Строение соединений (IIIв) и (IVв) установлено на основании анализа их спектров ЯМР и сравнением с литературными данными для аллобетулина [7]. Так, в результате образования гликозидной связи происходит парамгнитное смещение сигнала атома C3 агликона до 86.0 м. д. в спектре ¹³C-ЯМР гликозида (IIIв). Сигнал аномерного углеродного атома C1' наблюдается при 99.5 м. д. в спектре гликозида (IIIв) и при 100.2 м. д. в спектре гликозида (IVв). Аналогичные химические сдвиги атома C1' наблюдались и в спектрах 2,6-дидезокси- α -L-арабино-гексопиранозидов (IIIa), (IIIб), (IVa), (IVб) [2, 6], а также в спектрах природных тритерпеновых α -L-рамнозидов [8]. Об образовании 2-гликозидной связи в со-

Сокращения: GA – β -глицирризиновая кислота, NIS – N-иодсукцинимид, IDCP – комплекс ди(симм-коллиндин)-иодонийперхлорат, карбеноксолон – кислая соль сукцината глицирретовой кислоты.

[#] Автор для переписки (факс: (3-472) 35-60-66; e-mail: root@chemorg.bashkiria.su).



где ROH:



Реагенты: i) $\text{CH}_2\text{Cl}_2\text{--CH}_3\text{CN}$, КУ-2-8 (H^+), LiBr;
ii) 5% KOH/MeOH.

Схема.

единении (IIIb) свидетельствуют и сигналы протонов углеводной части в спектре ^1H -ЯМР, которая аналогична спектрам 2,6-дидезокси- α -L-арабиногексопиранозидов (IIIa), (IIIб) [2, 6].

Изучено влияние гликозидов (IVa), (IVb) на репаративную регенерацию слизистой оболочки желудка у крыс. В качестве препарата сравнения использовали известный противоязвенный препарат карбеноксолон [9] и глицирризиновую кислоту – основной биологически активный ингредиент экстракта солодкового корня.

Исследуемые соединения вводились животным через зонд в желудок в виде суспензии. Экспериментальные деструкции слизистой оболочки желудка вызывались введением индометацина и аспирина (табл. 1, 2).

Гликозиды (IVa) и (IVb) статистически достоверно снижают степень поражения слизистой оболочки желудка крыс. Противоязвенная активность гликозида (IVa) более выражена, чем у глицирризиновой кислоты (табл. 1), а действие

Таблица 1. Противоязвенное действие гликозида (IVa)*

Препарат	Доза, мг/кг	Среднее число деструкций слизистой оболочки желудка, вызванных			
		индометацином	P	аспирином	P
(IVa)	100	13.3 ± 1.20	<0.001	5.8 ± 0.6	<0.001
GA	100	18.16 ± 2.04	<0.05	7.3 ± 0.8	<0.01
Карбеноксолон	100	15.16 ± 2.04	<0.01	7.8 ± 0.8	<0.02
Контроль (вода)		24.16 ± 1.36		13.8 ± 1.8	

* Количество животных в группе = 6. P – достоверность результатов.

Таблица 2. Противоязвенное действие гликозида (IVв)*

Препарат	Доза, мг/кг	Среднее число повреждений слизистой оболочки желудка, вызванных индометацином	P
(IVa)	100	8.8 ± 0.5	<0.001
Карбеноксолон	100	10.5 ± 0.5	<0.002
Контроль (вода)		15.8 ± 1.0	

* См. примечание к табл. 1.

гликозидов (IVa), (IVв) немного превосходит влияние карбеноксолона (табл. 1, 2).

Влияние гликозида глицирретовой кислоты (IVa) на репаративную регенерацию кожи крыс изучено на двух моделях кожных ран – послойные лоскутные раны и термический ожог. Соединение использовали в виде 5% мази на вазелине (табл. 3, 4) и сравнивали с известными стимуляторами репаративной регенерации кожи – метилурацилом [10] и глицирризиновой кислотой.

Гликозид (IVa) оказался активнее как при заживлении лоскутных ран (табл. 3), так и при термическом ожоге (табл. 4), особенно на 15-й день лечения.

Изучено влияние гликозида (IVa) на функциональное состояние печени, которое оценивали по ее желчсекреторной и желчевыделительной функциям на интактных крысах и у животных с экспериментальным гепатитом, вызванным CCl₄. В качестве препаратов сравнения использовали

глицирризиновую кислоту и известный гепатопротекторный препарат – силибор [11] (табл. 5, 6).

Начиная со 2-го ч опыта гликозид (IVa) усиливал желчеобразовательную функцию гепатоцитов интактных животных эффективнее силибора, а на 4-й ч – эффективнее глицирризиновой кислоты (табл. 5, 6).

При гепатите, вызванном CCl₄, у животных резко угнетаются желчеобразовательная и желчевыделительная функции печени. Силибор у таких животных повышал функциональную активность гепатоцитов в 1-й ч, а глицирризиновая кислота – в первые 3 ч опытов. В тех же экспериментах гликозид (IVa) увеличивал во все сроки наблюдения не только секрецию желчи, но и подобно силибору – желчеобразование (табл. 6).

Таким образом, гликозиды (IVa), (IVв) обладают выраженной противоязвенной активностью. Гликозид (IVa) сочетает это свойство со стимуляцией репаративной регенерации кожи крыс и гепатопротекторным действием.

ЭКСПЕРИМЕНТАЛЬНАЯ ЧАСТЬ

ТСХ проводили на пластинках Silufol (Chemapol, ЧСФР), используя системы растворителей: хлористый метилен–метанол, 10 : 1 (А); бензол–метанол, 1 : 3 (Б). Вещества обнаруживали 20% раствором фосфорновольфрамовой кислоты в этаноле (96%) с последующим нагреванием при 100–120°C в течение 2–3 мин. Колоночную хроматографию проводили на силикагеле L (40/100 мкм; Chemapol, ЧСФР).

Таблица 3. Влияние гликозида (IVa) на репаративную регенерацию кожи на модели лоскутных ран*

Препарат	Средняя площадь кожных ран, мм ²				
	исходная	через 7 сут	P	через 15 сут	P
(IVa)	26.9 ± 1.4	7.0 ± 0.8	<0.001	0.5 ± 0.017	<0.001
GA	27.0 ± 1.4	9.54 ± 0.9	<0.02	2.0 ± 0.034	<0.05
Метилурацил	26.1 ± 1.4	10.9 ± 0.9	<0.05	2.47 ± 0.17	<0.05
Контроль (вазелин)	25.64 ± 0.8	13.9 ± 1.06		3.14 ± 0.34	

* См. примечания к табл. 1.

Таблица 4. Влияние гликозида (IVa) на репаративную регенерацию кожных ран на модели термического ожога*

Препарат	Средняя площадь кожных ран, мм ²				
	исходная	через 7 сут	P	через 15 сут	P
(IVa)	20.9 ± 0.52	12.3 ± 0.4	<0.02	0.62 ± 0.017	<0.001
GA	19.5 ± 0.26	13.7 ± 0.6	<0.05	0.78 ± 0.017	<0.001
Метилурацил	19.8 ± 0.5	12.7 ± 0.4	<0.02	1.3 ± 0.17	<0.01
Контроль (вазелин)	22.1 ± 0.5	17.5 ± 0.8		2.97 ± 0.03	

* См. примечания к табл. 1.

Таблица 5. Влияние гликозида (IVa) на функциональное состояние гепатоцитов у интактных крыс

Препарат	Доза, мг/кг	Скорость секреции желчи (мг/мин) через				Общий вес желчи за 4 ч, мг/100 г
		1 ч	2 ч	3 ч	4 ч	
(IVa)	50	3.0 ± 0.19*	4.09 ± 0.18*	4.1 ± 0.19*	3.7 ± 0.2*	976 ± 70
GA	50	3.7 ± 0.15*	3.9 ± 0.17*	3.7 ± 0.17*	2.9 ± 0.13*	840 ± 78
Силибор	50	3.4 ± 0.17*	3.1 ± 0.12	2.6 ± 0.12*	3.0 ± 0.12*	860 ± 98
Контроль (вода)		2.5 ± 0.15	2.9 ± 0.13	2.1 ± 0.17	2.2 ± 0.12	790 ± 80

* Обозначены статистически достоверные ($P < 0.05$) по сравнению с контролем результаты.

Таблица 6. Влияние гликозида (IVa) на функциональное состояние печени при CCl_4 -гепатите у крыс

Препарат	Доза, мг/кг	Скорость секреции желчи (мг/мин) через				Общий вес желчи за 4 ч, мг/100 г
		1 ч	2 ч	3 ч	4 ч	
(IVa)	50	3.2 ± 0.3*	3.1 ± 0.2*	3.1 ± 0.2*	3.0 ± 0.2*	748 ± 89*
GA	50	3.4 ± 0.6*	3.7 ± 0.6*	3.3 ± 0.5*	2.2 ± 0.3	756 ± 91*
Силибор	50	2.4 ± 0.2*	1.8 ± 0.3	1.8 ± 0.3	1.8 ± 0.3	500 ± 55
Контроль (гепатит)		1.7 ± 0.2**	1.5 ± 0.2**	1.5 ± 0.2**	1.7 ± 0.2**	450 ± 33**
Интakтные животные		2.5 ± 0.2	2.9 ± 0.1	2.1 ± 0.1	2.2 ± 0.1	790 ± 80*

* Обозначены статистически достоверные ($P < 0.05$) по сравнению с контролем (гепатит) результаты.

** Обозначены достоверные по сравнению с интактными животными результаты.

ИК-спектры снимали на спектрофотометрах Specord M80 и UR-20 в пасте с вазелиновым маслом. УФ-спектры записаны на спектрофотометрах Specord M40 и Shimadzu UV-365 в метаноле.

Спектры 1H - и ^{13}C -ЯМР регистрировали на спектрометре Bruker AM-300 с рабочей частотой 300 и 75.5 МГц соответственно в $CDCl_3$ (внутренний стандарт – тетраметилсилан).

Температуры плавления определяли на микронагревательном столике Voetius. Оптическую активность измеряли на поляриметре Perkin-Elmer 241 MC. Хлористый метилен и ацетонитрил для синтезов перегоняли дважды над P_2O_5 . Молекулярные сита 4 Å прокаливали при 160–180°C и 1–5 мм рт. ст. в течение 2 ч. Катионит КУ-2-8 (H^+ -форма) осушали так, как описано в работе [12].

Ди-О-ацетил-*L*-рамналь (I) синтезировали по методике [13] из *L*-рамнозы (Chemapol, Чехия). Метилловый эфир 18β-глицирретовой кислоты (IIa) получали из глицирризиновой кислоты [14]; метилловый эфир 11-дезоксо-18β-глицирретовой кислоты (IIб) получали восстановлением эфира (IIa) [15]; аллобетулин (IIв) синтезировали из бетулина, содержащегося в экстракте коры берез [16].

Тритерпеновые 2,6-дидезокси-α-*L*-арабиногексопиранозиды (IIIa)–(IIIв) (типовая методика). К раствору 1 ммоль ди-О-ацетил-*L*-рамналя (I) в 30 мл смеси безводных CH_2Cl_2 – CH_3CN (1 : 1, по объему) прибавляли 0.7 г безводного LiBr, эк-

вивальное количество спирта (IIa)–(IIв), 0.6 г прокаленных молекулярных сит 4 Å и 0.9 г осушенного катионита КУ-2-8. Смесь перемешивали 3 ч (ТСХ-контроль, система А), отфильтровывали и нейтрализовали триэтиламино. Растворитель упаривали в вакууме, остаток растворяли в 20 мл CH_2Cl_2 , промывали водой, холодным 1 н. раствором HCl, насыщенным раствором $NaHCO_3$ и сушили Na_2SO_4 . Растворитель отгоняли, остаток хроматографировали.

Метилловый эфир 3-О-[3,4-ди-О-ацетил-2,6-дидезокси-α-*L*-арабиногексопиранозил]-18β-глицирретовой кислоты (IIIa) получали из 0.21 г ди-О-ацетил-*L*-рамналя (I) и 0.48 г метилового эфира 18β-глицирретовой кислоты (IIa) и хроматографировали, используя в качестве элюента градиентную смесь пентан–этилацетат, 7 : 1, 5 : 1, 3 : 1, 2 : 1, 1 : 1 (по объему). Смесью 3 : 1 и 2 : 1 вымыли 0.59 г (84.4%) гликозида (IIIa). Желтый порошок, R_f 0.70 (А), 0.81 (Б); т. разл. 218–220°C; $[\alpha]_D^{20} +118^\circ$ (с 0.06, $CHCl_3$). Найдено (%): С 70.1; Н 8.5. $C_{41}H_{62}O_9$. Вычислено (%): С 70.5; Н 8.9.

Спектры ЯМР, ИК, УФ см. [2].

Метилловый эфир 3-О-[3,4-ди-О-ацетил-2,6-дидезокси-α-*L*-арабиногексопиранозил]-11-дезоксо-18β-глицирретовой кислоты (IIIб) получали из 0.21 г ди-О-ацетил-*L*-рамналя (I) и 0.47 г метилового эфира 11-дезоксо-18β-глицирретовой кислоты (IIб) и хроматографировали, элюируя последовательно хлороформом и смесями хлоро-

форм–метанол, 200 : 1, 150 : 1, 100 : 1, 50 : 1 (по объему). Индивидуальный по ТСХ гликозид (IIIб) элюировался смесями 150 : 1 и 100 : 1. Выход 0.58 г (85.1%). Белый порошок, R_f 0.72 (А); т. пл. 216–217°C; $[\alpha]_D^{20} +104^\circ$ (с 0.05, CHCl_3). Найдено (%): С 71.3; Н 8.9. $\text{C}_{41}\text{H}_{64}\text{O}_8$. Вычислено (%): С 71.9; Н 9.4. Спектры ЯМР см. [6].

3-О-[3,4-Ди-О-ацетил-2,6-дидезокси- α -L-арабино-гексопиранозил]-19,28-эпокси-18 α -олеан-3 β -ол (IIIв) получали из 0.21 г ди-О-ацетил-L-рамналя (I) и 0.44 г аллобетулина (IIв) и хроматографировали так же, как соединение (IIIб). После перекристаллизации из этанола выделили 0.55 г (83.3%) гликозида (IIIв) в виде порошка кремового цвета. R_f 0.71 (А); т. пл. 243–245°C; $[\alpha]_D^{20} +17^\circ$ (с 0.06, CHCl_3). Найдено (%): С 72.9; Н 10.1. $\text{C}_{40}\text{H}_{64}\text{O}_7$. Вычислено (%): С 73.1; Н 9.8. Спектр ^1H -ЯМР (δ , м. д., J , Гц): 0.78, 0.84, 0.87, 0.90, 0.92, 0.96 (с, 7 CH_3 агликона), 1.37 (д, 3H, H $_{6'}$, $J_{6',5'} 6.3$), 1.00–2.10 (м, CH_2 , СН агликона, H $_{2'}$), 1.99, 2.04 (с, 2Ac), 3.18–3.23 (уш. с, 1H, H $_3$), 3.44 (д, 1H, H $_a$ 28, $J_{7,7}$), 3.52 (с, 1H, H $_{19}$), 3.76 (д, 1H, H $_b$ 28, $J_{7,7}$), 3.98 (дк, 1H, H $_{5'}$), $J_{4',5'} 9.7$, $J_{5',6'} 6.3$), 4.71 (т, 1H, H $_4'$, $J_{9,7}$), 4.90 (д, 1H, H $_{1'}$, $J_{1',2a} 2.9$), 5.27 (ддд, 1H, H $_3'$, $J_{3',2a} 11.5$, $J_{3',2e} 5.1$, $J_{3',4'} 9.7$). Спектр ^{13}C -ЯМР (δ , м. д.): 21.3 (C2), 86.0 (C3), 39.0 (C4), 51.2 (C9), 37.1 (C10), 21.1 (C11), 25.6 (C12), 36.8 (C13), 41.5 (C14), 46.9 (C18), 88.0 (C19), 71.3 (C18), 99.5 (C1'), 35.9 (C2'), 69.3 (C3'), 75.2 (C4'), 65.7 (C5'), 18.0 (C6'), 170.3, 170.4 ($\text{O}=\text{C}-\text{O}-\text{CH}_3$), 20.2, 20.9 ($\text{O}-\text{C}-\text{O}-\text{CH}_3$).

Метилловый эфир 3-О-[2,6-дидезокси- α -L-арабино-гексопиранозил]-18 β -глицирретовой кислоты (IVа). Получение и спектры ЯМР, ИК, УФ см. [2]. R_f 0.40 (А); т. разл. 184–185°C; $[\alpha]_D^{20} +112^\circ$ (с 0.09, CHCl_3).

Метилловый эфир 3-О-[2,6-дидезокси- α -L-арабино-гексопиранозил]-11-дезоксо-18 β -глицирретовой кислоты (IVб). Получение и спектр ^{13}C -ЯМР см. [6]. R_f 0.32 (А); т. пл. 215–217°C; $[\alpha]_D^{20} +96^\circ$ (с 0.08, CHCl_3).

3-О-[2,6-дидезокси- α -L-арабино-гексопиранозил]-19,28-эпокси-18 α -олеан-3 β -ол (IVв). К раствору 0.55 г гликозида (IIIв) в 120 мл метанола прибавляли 18 мл 5% раствора КОН в метаноле и дезацетилировали по методике, описанной в работе [1]. После перекристаллизации из этанола получили 0.4 г (85%) гликозида (IVв) в виде желтого порошка. R_f 0.35 (А); т. пл. 251–253°C; $[\alpha]_D^{20} +21^\circ$ (с 0.04, CHCl_3). Найдено (%): С 75.1; Н 10.3. $\text{C}_{36}\text{H}_{60}\text{O}_5$. Вычислено (%): С 75.5; Н 10.6. Спектр ^{13}C -ЯМР (δ , м. д.): 20.9 (C2), 88.8 (C3), 39.0 (C4), 51.2 (C9), 37.2 (C10), 21.0 (C11), 25.2 (C12), 36.8 (C13), 41.6 (C14), 46.9 (C18), 88.0 (C19), 71.3

(C28), 100.2 (C1'), 38.4 (C2'), 69.5 (C3'), 78.3 (C4'), 67.6 (C5'), 17.6 (C6').

Противоязвенную активность соединений (IVа) и (IVв) изучали на модели экспериментальных деструкций слизистой оболочки желудка половозрелых крыс, вызванных индометацином и аспирином, как описано в работе [4]. Результаты опытов приведены в табл. 1, 2.

Влияние гликозида (IVа) на репаративную регенерацию кожи на модели послеранних лоскутных ран изучали как описано в работе [4]. В отдельной серии опытов использовали модель термического ожога, вызванного на боковой поверхности тела крыс водой с температурой 100°C в течение ~10 с. Через 1 сут определяли исходную площадь ожога и начинали лечение 5% мазями на вазелине (ежедневная обработка). Результаты опытов после статистической обработки приведены в табл. 3, 4.

Влияние гликозида (IVа) на функциональное состояние печени оценивали по желчсекреторной и желчевыделительной функциям по методике [17] на интактных крысах и у животных с экспериментальным CCl_4 -гепатитом. Опыты проводились на крысах массой 180–200 г. В качестве препаратов сравнения использовали силибор и глицирризиновую кислоту. Все соединения вводились в дозе 50 мг/кг. В первой серии опытов изучали влияние препаратов на функциональное состояние печени у интактных животных. Секрецию желчи выражали в миллиграммах в минуту (мг/мин) на 100 г массы животного, а желчевыделительную функцию оценивали по общему количеству выделенной желчи за 4 наблюдения в миллиграммах на 100 г массы крысы. Результаты опытов после статистической обработки приведены в табл. 5.

В следующей серии опытов изучали влияние гликозида (IVа) на функциональную активность печени при CCl_4 -гепатите, который вызывали по методике [18]. Результаты опытов после статистической обработки приведены в табл. 6.

Работа выполнена при финансовой поддержке Российского фонда фундаментальных исследований (грант № 96-03-33240).

СПИСОК ЛИТЕРАТУРЫ

1. Балтина Л.А., Флехтер О.Б., Васильева Е.В., Толстиков Г.А. // Изв. РАН. Сер. хим. 1996. С. 2340–2346.
2. Флехтер О.Б., Балтина Л.А., Васильева Е.В., Толстиков Г.А. // Изв. РАН. Сер. хим. 1996. С. 2993–2996.
3. Baltina L.A., Flekhter O.B., Vasiljjeva E.V. // Mendeleev Commun. 1996. P. 63–64.
4. Балтина Л.А., Флехтер О.Б., Васильева Е.В., Давыдова В.А., Исмаилова А.Ф., Зарудий Ф.С.,

- Толстиков Г.А. // Биоорган. химия. 1997. Т. 23. С. 512–518.
5. Flekhter O.B., Baltina L.A., Vasiljjeva E.V., Tolstikov G.A. // Mendeleev Commun. 1997. P. 3–5.
 6. Балтина Л.А., Флехтер О.Б., Васильева Е.В., Толстиков Г.А. // Изв. РАН. Сер. хим. 1997. С. 596–600.
 7. Одинокова Л.Э., Ошток Г.И., Денисенко В.А., Ануфриев В.Ф., Толкач А.М., Уварова Н.И. // Химия природ. соединений. 1984. С. 182–187.
 8. Громова А.С., Луцкий В.И., Семенов А.А., Валеев Р.Б., Калабин Г.А., Елькин Ю.Н. // Химия природ. соединений. 1985. С. 670–675.
 9. Finney R.S., Tarnoky A.L. // J. Pharm. Pharmacol. 1960. V. 12. P. 49–58.
 10. Машковский М.Д. Лекарственные средства. М.: Медицина, 1993. Т. I. С. 161.
 11. Машковский М.Д. Лекарственные средства. М.: Медицина, 1993. Т. II. С. 612.
 12. Sabesan S., Neira S. // J. Org. Chem. 1991. V. 56. P. 5468–5472.
 13. Iselin B., Reichstein T. // Helv. Chim. Acta. 1944. V. 27. P. 1146–1149.
 14. Балтина Л.А., Флехтер О.Б., Путиева Ж.М., Кондратенко Р.М., Краснова Л.В., Толстиков Г.А. // Хим.-фармацевт. журн. 1996. № 4. С. 47–49.
 15. Пат. 5970638 Япония // Deoxoglycyrrhetic Acid. Chem. Abstr. 1984. V. 101. N171562t.
 16. Lugemwa F.N., Huang F.-Y., Bently M.D., Mendel M.J., Alford A.R. // J. Agric. Food Chem. 1990. P. 493–496.
 17. Скакуи Н.П., Олейник Л.Н. // Журн. фармакол. и токсикол. 1967. № 3. С. 334–337.
 18. Николаев С.М. Растительные лекарственные препараты при повреждениях гепатобилиарной системы. Новосибирск, 1992. 155 с.

The Synthesis of Triterpene 2,6-Dideoxy- α -L-arabino-Hexopyranosides from L-Rhamnol and Their Pharmacological Properties

L. A. Baltina*, O. B. Flekhter*, V. A. Davydova*, A. F. Ismagilova*, F. S. Zarudii*,
Kh. M. Nasyrov**, L. S. Gromakova**, and G. A. Tolstikov*

*Institute of Organic Chemistry, Ufa Scientific Center, Russian Academy of Sciences, pr. Oktyabrya 71, Ufa, 450054 Russia

**Bashkir State Medicinal University, Ufa, Russia

Abstract—Triterpene 2,6-dideoxy- α -L-arabino-hexopyranosides were synthesized by the glycosylation of oleanane triterpene alcohols with L-rhamnol acetate in the presence of cationite KU-2-8 and lithium bromide. 2,6-Dideoxy- α -L-arabino-hexopyranosides of allobetulin and methyl glycyrrhetinate showed pronounced antiulcerous activity; the latter also stimulated reparative skin regeneration in rats and was effective as a hepatoprotectant.

Key words: triterpene 2,6-dideoxy- α -L-arabino-hexopyranosides, synthesis, antiulcerous activity, reparative skin regeneration, hepatoprotectant activity.